

УДК 663.14.033

Теплообмен между стенкой вертикальной трубы и газожидкостной смесью в условиях перемешивания среды жидкими струями

Н.А. ПЕТРОВ, канд. техн. наук А.Б. ДУЖИЙ, д-р техн. наук, проф., академик МАХ В.Б. ТИШИН
Санкт-Петербургский государственный университет низкотемпературных и пищевых технологий

Results of experimental investigations and calculations are presented which show, that the use of adopted hydrodynamic model of movement of gas-liquid mixture under the conditions of spray turbulization of medium is quite justined.

Теплообмен в трубах кожухотрубного струйно-инжекционного абсорбера (КСИА), применимого для насыщения напитков диоксидом углерода, аэробного культивирования микроорганизмов, окислительной полимеризации растительных масел [5, 6], протекает в сложных гидродинамических условиях. На рис. 1 показана схема одноходового КСИА, в котором образование нисходящего газожидкостного потока происходит в трубах 1 в результате инжекции газа свободной жидкой струей 2 в газожидкостную смесь.

Решение задачи теплообмена между теплопередающей поверхностью и газожидкостным потоком в условиях, когда источником турбулизации служат стенки и относительное движение фаз, можно найти в работе [4].

Коэффициент теплоотдачи α находили из уравнения

$$\alpha = \frac{\rho_* g c_p u_*}{\Psi}. \quad (1)$$

Входящую в уравнение (1) среднюю безразмерную разность между температурами поверхности стенки и газожидкостной смеси Ψ определяли на основе полуэмпирической теории турбулентности и аналогии меж-

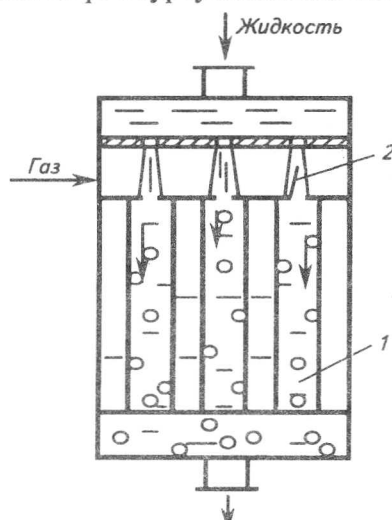


Рис. 1. Схема одноходового КСИА

ду переносом импульса и теплоты [4].

В рассматриваемом нами случае к двум указанным выше источникам турбулизации добавляется третий – взаимодействие струи с газожидкостной смесью. Основная сложность заключается в определении динамической скорости u_* .

Известно [4], что динамическая скорость пропорциональна средней по объему среды диссипации энергии, т.е.

$$u_* \sim \left(\frac{E v_*}{\rho_*} \right)^{0.25}, \quad (2)$$

где v_* – коэффициент кинематической вязкости;
 ρ_* – плотность жидкости.

В поисках закономерности переноса теплоты в условиях струйного перемешивания газожидкостной смеси будем исходить из того, что имеются три источника турбулизации: стенка трубы, относительное движение фаз и возмущающее действие струи. Последний фактор связан с торможением струи и, как следствие этого, с ее расширением (рис. 2). С учетом трех источников турбулизации значение E в пропорциональности (2)

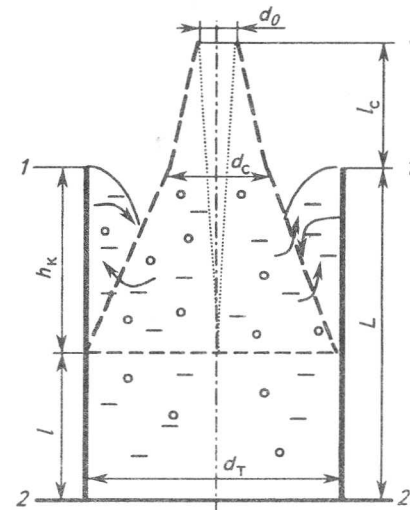


Рис. 2. Схема движения струи на различных участках трубы

представим в виде суммы

$$E = E_1' + E_2 + E_3. \quad (3)$$

Сумма первых двух слагаемых согласно [4] равна

$$E_1 + E_2 = \frac{\tau_{\text{гж}}^2}{\mu_*} + \chi_*^4 \rho_* g v_{\text{от}} \Phi_r (1 - \Phi_r)^2. \quad (4)$$

В уравнении (4) касательные напряжения на стенке при движении газожидкостной смеси согласно данным [4]

$$\tau_{\text{гж}} = \frac{\tau_*}{(1 - \Phi_r)^{1.75}}, \quad (5)$$

где τ_* – касательные напряжения на стенке при течении однофазного потока рассчитываются по известным в гидравлике формулам по приведенной скорости жидкости v_* .

Так как нами рассматривается нисходящее течение, то согласно имеющимся в литературе данным Φ_r равно расходному газосодержанию β_r , но в этом случае относительная скорость фаз $v_{\text{от}} = 0$ [3] и второе слагаемое в уравнении (3) исчезает. Таким образом, в конечном итоге задача сводится к определению величины E_3 . Данную задачу будем решать так же, как и при определении E_2 в уравнении (4), исходя из равенства

$$E_3 = \chi_*^4 \frac{N_p}{V_*}. \quad (6)$$

Определим энергию, расходуемую в единицу времени на расширение струи от диаметра d_c до d_T после входа ее в газожидкостную смесь (рис.2):

$$N_p = \Delta p_p Q_*,$$

а также объем жидкости в трубе, возмущенный струей:

$$V_* = V_T / (1 - \Phi_r).$$

Подставив значения N_p и V_* в равенство (6) и учитывая поправку на $(1 - \Phi_r)^2$ [4], получим

$$E_3 = \chi_*^4 \frac{\Delta p_p v_{\text{жт}} (1 - \Phi_r)^2}{L}, \quad (7)$$

где $v_{\text{жт}}$ – приведенная скорость жидкости в трубе;

L – длина возмущенной части газожидкостного потока.

После подстановки значения E_3 из равенства (7) и $\tau_{\text{гж}}$ из (4) в пропорциональность (2) получим

$$u_* = \left(\frac{\tau_{\text{гж}}^2}{\rho_*^2} + \chi_*^4 \frac{v_* \Delta p_p v_{\text{жт}} (1 - \Phi_r)^2}{\rho_* L} \right). \quad (8)$$

Визуально установлено, что возмущение струи распространяется по течению газожидкостного потока на расстояние $L = (1 \dots 1.5) h_k$, где h_k – глубина проникновения струи в среду, рассчитывается по уравнению [5]:

$$h_k = \left(\frac{3.44 d_0 v_0^3}{g^{1.5}} \right). \quad (9)$$

В уравнении (8) осталась одна неизвестная величина Δp_p – потери давления на участках трубы 1–1 и 2–2 (см. рис. 2). Попытка решения этой задачи была сделана в работе [7]. Однако при выводе расчетного уравнения было принято условие $d_c = d_0$, что противоречит последним исследованиям А.Б. Дужего, выполнившего зондирование струи электрометрическим методом в поперечном и продольном направлениях [1]. Было установлено, что структура струи неоднородна. Она состоит из сплошной центральной части диаметром d_u , уменьшающейся по длине; газожидкостного слоя диаметром d_c , увеличивающегося по длине струи, и пограничного газового слоя.

Определим Δp_p по той же методике, что и гидравлические потери при внезапном расширении потока. С этой целью составим баланс энергии газожидкостного потока для сечений 1–1 и 2–2 с учетом неоднородности структуры струи

$$\begin{aligned} p_1 + \frac{\rho_* v_{\text{ц}}^2}{2} + \frac{\rho_* u_{\text{жт}}^2}{2} + \frac{\rho_r u_{r_1}^2}{2} = \\ = p_2 + \frac{\rho_* u_{\text{жт}}^2}{2} + \frac{\rho_r u_{r_2}^2}{2} + \Delta p_p, \end{aligned} \quad (10)$$

где $v_{\text{ц}}$ – средняя скорость жидкости в центральной зоне струи;

$u_{\text{жт}}$ и u_{r_1} – истинные скорости жидкости и газа в газожидкостном слое струи;

u_{r_2} – истинные скорости фаз в трубе.

Так как $\rho_* \gg \rho_r$, то кинетической энергией газа пренебрегаем. С учетом того, что $u = v/(1 - \Phi_r)$, в уравнении (10) истинные скорости заменим на приведенные и найдем значение Δp_p :

$$\begin{aligned} \Delta p_p = \frac{\rho_* v_{\text{ц}}^2}{2} + \frac{\rho_* v_{\text{жт}}^2}{1(1 - \Phi_{r_1})^2} - \\ - \frac{\rho_* v_{\text{жт}}^2}{2(1 - \Phi_{r_1})^2} + (p_1 - p_2). \end{aligned} \quad (11)$$

Разность давлений $p_1 - p_2$ определим, воспользовавшись теоремой об изменении количества движения ΔK массы жидкости, находящейся между сечениями 1–1 и 2–2, согласно которой

$$\begin{aligned} \frac{\Delta K}{\Delta t} = \frac{\Delta m_{r_1} u_{\text{жт}}}{\Delta t} - \frac{\Delta m_{\text{ц}} v_{\text{ц}}}{\Delta t} - \\ - \frac{\Delta m_{\text{жт}} u_{\text{жт}}}{\Delta t} = (p_1 - p_2) S_{\text{т}}, \end{aligned} \quad (12)$$

где Δm_1 , Δm_{r_1} , $\Delta m_{\text{ц}}$ – изменение массы жидкости за время Δt в соответствующих зонах. Равенство (12) преоб-

разумеем с учетом того, что $\Delta m/\Delta t$ есть массовый расход.

$$p_1 - p_2 = \frac{\rho_* v_{**}^2}{(1-\varphi_r)} - \rho_* v_u^2 \frac{S_u}{S_2} - \frac{\rho_* v_{**}^2}{(1-\varphi_r)} \frac{S_1}{S_2}. \quad (13)$$

После подстановки уравнения (13) в (11) получим

$$\Delta p_p = \frac{\rho_*}{2} \left\{ \frac{v_{**}^2}{(1-\varphi_r)^2} (1-2\varphi_r) + \frac{v_{**}^2}{(1-\varphi_{r_1})^2} \left[1 - 2(1-\varphi_{r_1}) \frac{S_1}{S_t} \right] + v_u^2 \left(1 - 2 \frac{S_u}{S_t} \right) \right\}, \quad (14)$$

где $S_1 = S_c - S_u$ – площадь сечения газожидкостного слоя;

$$S_c = 0,785d_c^2, S_u = 0,785d_u^2;$$

$v_{**} = Q_{**}/S_1$ – приведенная скорость жидкости в газожидкостном слое.

В уравнении (14) истинные газосодержание в трубе φ_r и газожидкостном слое струи φ_{r_1} рассчитывают по формулам

$$\varphi_r = Q_r/(Q_r + Q_*) ; \quad \varphi_{r_1} = Q_{r_1}/(Q_{r_1} + Q_{**}),$$

где $Q_{r_1} = Q_r - Q_\delta$; $Q_{**} = Q_* - Q_u$; $Q_r = Q_u + Q_{r*} + Q_\delta - Q_*$.

Формулы для расчета Q_u , Q_{r*} и Q_δ можно найти в работе [2].

Значения d_u и d_c рассчитывают по следующим уравнениям:

$$d_u = d_0 - 3,12 \cdot 10^{-4} l_c We^{0,5} (1 - 1,42 \cdot 10^{-2} We^{0,5}); \quad (15)$$

$$d_c = d_0 + 2,14 \cdot 10^{-2} l_c (3,02 \cdot 10^{-2} We^{0,5} - 1). \quad (16)$$

Уравнения (15) и (16) ограничены значением числа Вебера

$$We = \frac{\rho_* d_0 v_0^2}{\sigma} \leq 1100,$$

где σ – коэффициент поверхностного натяжения;

v_0 – скорость истечения жидкости из насадки.

При $We < 1100$ значение d_c можно найти из уравнения

$$d_c = d_u + 0,54 \cdot 10^{-4} l_c We^{0,8}. \quad (17)$$

Коэффициент χ_2 , входящий в уравнение (8), определяли экспериментально. Исследования проводили на трехтрубной модели КСИА [6], изготовленной из нержавеющей стали. Значения χ_2 изменялись в пределах от 1,2 до 2. Такой значительный разброс можно объяснить невысокой точностью эксперимента, так как коэффициент теплоотдачи α в уравнении (1) определяли по коэффициенту теплопередачи от пара к воде. Од-

нако в первом приближении χ_2 можно принять равным 1,5, что близко к значению $\chi_1 = 1,9...2$ в других аппаратах.

Результаты экспериментальных исследований и расчеты, выполненные по уравнениям (1), (8) и (14), показывают, что использование принятой гидродинамической модели движения газожидкостной смеси в условиях струйной турбулизации среды вполне оправдано. Более точное нахождение χ_2 требует и более точной методики проведения эксперимента по определению коэффициента теплоотдачи.

Список литературы

1. Дужий А.Б., Тишин В.Б. Объяснение механизма уноса газа свободной жидкостью струей на основе экспериментального исследования ее структуры // Известия СПбГУНПТ. 2000. № 1.
2. Дужий А.Б., Лебедева Т.Я., Петров Н.А., Михайлов Д.Ю. Зависимость инжектирующей способности жидких свободных струй от физических свойств жидкости // Сб. трудов II МНТК, посвященной 300-летию СПб. – СПб.: СПбГУНПТ, 2003.
3. Кутателадзе С.С., Старикович Н.А. Гидродинамика газожидкостных систем. – М.: Энергия, 1976.
4. Соколов В.Н., Доманский И.В. Газожидкостные реакторы. – Л.: Машиностроение, 1976.
5. Тишин В.Б., Новоселов А.Г., Меледина Т.В. Пути повышения выхода клеточной массы при выращивании *Sacharomyces cerevisiae* Hansen, 1883 в ферментере струйно-инжекционного типа // Микробиология и фитопатология. 1994. Т.28. № 3.
6. Федоров К.М., Тишин В.Б., Сабуров А.Г. Окислительная полимеризация растительных масел в кожухотрубном струйно-инжекционном аппарате // Масложировая промышленность. 1996. № 5, 6.
7. Хандобин А.В., Новоселов А.Г., Тишин В.Б. Гидродинамика и теплообмен в трубах струйно-инжекционных абсорберов // Межвуз.сб. науч. тр. «Проблемы процессов и оборудования пищевой технологии». – СПб.: СПбГУНПТ, 2000.
8. Яблокова М.А., Соколов В.Н., Сугак А.В. Гидродинамика и массоперенос при струйном аэрировании жидкостей // Теоретические основы химической технологии, 1988. Т.22. № 6.